

Численные методы математической физики

Конспект по 4 курсу специальности «прикладная
математика»

(лектор А. М. Будник)

Оглавление

1	Способы построения и исследования разностных схем.	3
1.1	Сетки и сеточные функции.	3
1.2	Разностная аппроксимация дифференциальных операторов.	7
1.2.1	Локальная аппроксимация.	7
1.2.2	13
1.3	Разностная аппроксимация дифференциальных задач.	15
1.3.1	Постановка разностной задачи.	15
1.3.2	Сходимость и точность разностных схем.	16
1.3.3	Повышения порядка аппроксимации разностных схем.	18

Введение.

В данном курсе мы будем рассматривать задачи математической физики в частных производных. Основной принцип решения состоит в том, что дифференциальное уравнение мы заменяем разностным и ищем приближенное решение на сетке узлов. Такой способ называется *методом конечных разностей* (*методом сеток*). А раздел численных методов, посвященный теории метода конечных разностей, носит название *теория разностных схем*.

Выделим два основных момента при решении:

1. построение дискретных разностных аппроксимаций для уравнений математической физики и исследование основных характеристик этих аппроксимаций: погрешности, устойчивости и точности разностных схем;
2. решение разностных уравнений прямыми или итерационными методами, которые выбираются из соображений экономичности вычислительного алгоритма.

Глава 1

Способы построения и исследования разностных схем.

1.1 Сетки и сеточные функции.

При численном решении той или иной математической задачи мы не можем воспроизвести приближенное решение для всех значений аргумента. Поэтому в области задания функции выбирается конечное множество точек, и приближенное решение задачи ищется в этих точках.

- Это множество называется **сеткой**, а отдельные точки этого множества – **узлами сетки**.
- Функция, определенная в узлах сетки, называется **сеточной функцией**.

Заменяя области непрерывного изменения аргумента сеткой, то есть областью дискретного изменения аргумента, мы осуществляем аппроксимацию пространства решения дифференциального уравнения пространством сеточной функции.

Пример сетки на отрезке (одномерный случай).

В качестве области определения искомой функции мы рассматриваем отрезок на оси x .

1. **Равномерная сетка.** Не ограничивая общности, возьмем отрезок $[0, 1]$ и разобьем его на N равных частей точками

$$x_0 = 0, x_1, \dots, x_{N-1}, x_N = 1.$$

Расстояние между соседними точками назовем *шагом сетки* и обозначим его через h , а точки x_i примем в качестве *узлов сетки*, $i = \overline{0, N}$. Тогда множество всех x_i составляют *равномерную сетку* на отрезке $[0, 1]$, которую будем обозначать следующим образом

$$\overline{\omega}_h = \left\{ x_i = ih, i = \overline{0, N}, h = \frac{1}{N} \right\}.$$

Множество граничных узлов обозначим как

$$\gamma_h = \{x_0, x_N\}.$$

А все остальные точки образуют *множество внутренних узлов*

$$\omega_h = \left\{ x_i = ih, i = \overline{1, N-1}, h = \frac{1}{N} \right\}.$$

Таким образом, можно записать

$$\overline{\omega}_h = \omega_h \cup \gamma_h.$$

2. **Неравномерная сетка.** Возьмем отрезок $[0, 1]$ и разобьем его на N частей точками

$$0 = x_0 < x_1 < \dots < x_{N-1} < x_N = 1.$$

Тогда мы можем записать неравномерную сетку с граничными узлами

$$\hat{\omega}_h = \{x_i, i = \overline{0, N}, x_0 = 0, x_N = 1\}.$$

Шаг неравномерной сетки зависит от номера узла и удовлетворяет условию нормировки

$$\sum_{i=1}^N h_i = 1, \text{ где } h_i = x_i - x_{i-1}.$$

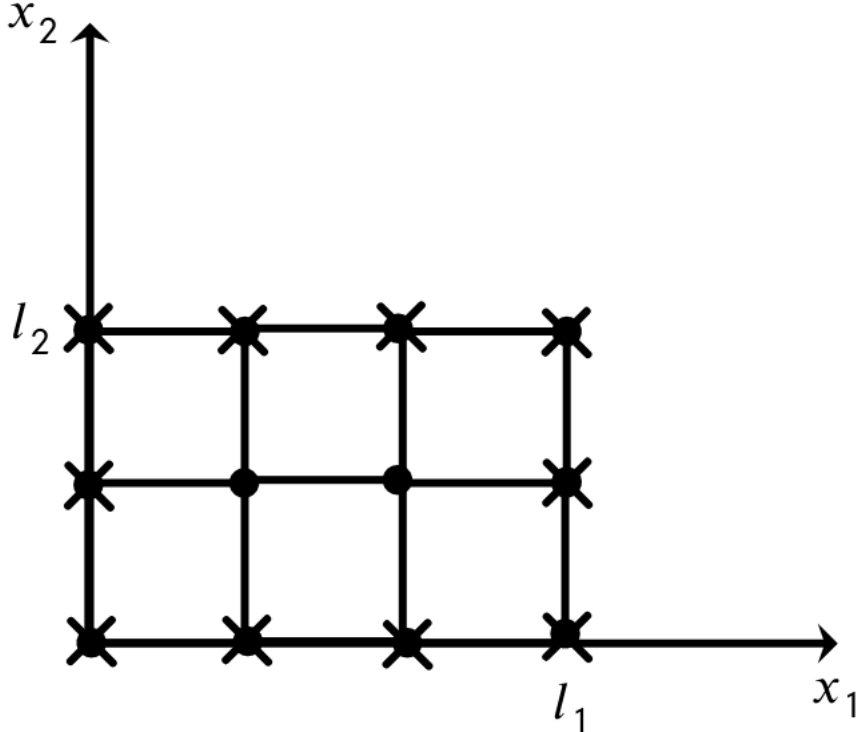
Аналогично случаю равномерной сетки можно записать

$$\hat{\overline{\omega}}_h = \hat{\omega}_h \cup \hat{\gamma}_h.$$

Пример сетки на плоскости (двумерный случай).

1. **Прямоугольник.** Исходная область прямоугольника

$$\overline{G} = \{(x_1, x_2), 0 \leq x_\alpha \leq l_\alpha, \alpha = 1, 2\}$$



(кружочками обозначены внутренние узлы, а крестиками – внешние).

Сначала построим равномерную сетку. Разобьем отрезки $[0, l_\alpha]$ на N_α частей точками

$$0 = x_{\alpha,0} < x_{\alpha,1} < \dots < x_{\alpha,N_\alpha-1} < x_{\alpha,N_\alpha} = l_\alpha.$$

Через точки деления проводим прямые, параллельные координатной оси. В качестве узлов двумерной сетки возьмем точки пересечения этих прямых. Общее количество узлов сетки равно $(N_1 + 1) \times (N_2 + 1)$, а их распределение характеризуется векторным параметром

$$h = \{h_{\alpha,1}, \dots, h_{\alpha,N_\alpha}, h_{\alpha,i_\alpha} = x_{\alpha,i_\alpha} - x_{\alpha,i_\alpha-1}, i_\alpha = \overline{1, N_\alpha}, \alpha = 1, 2\}.$$

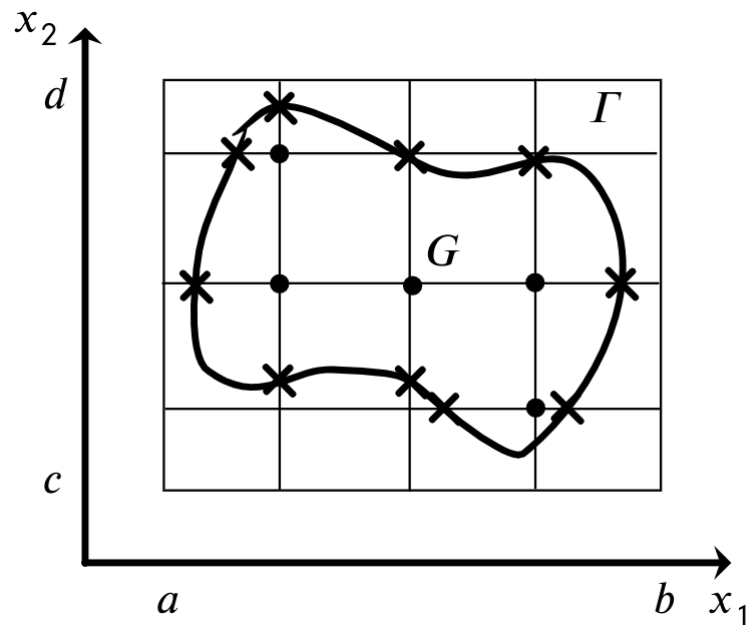
Тогда *неравномерную двумерную сетку* можно обозначить

$$\hat{\omega}_h = \hat{\omega}_{h_1, h_2} = \hat{\omega}_{h_1} \times \hat{\omega}_{h_2} = \{(x_{1,i_1}, x_{2,i_2}), i_\alpha = \overline{0, N_\alpha}, x_{\alpha,0} = 0, x_{\alpha,N_\alpha} = l_\alpha, \alpha = 1, 2\}.$$

Если по каждому направлению шаги сетки равны между собой, то мы получим *двумерную равномерную сетку*

$$\bar{\omega}_h = \bar{\omega}_{h_1, h_2} = \hat{\omega}_{h_1} \times \hat{\omega}_{h_2} = \{(x_{1,i_1}, x_{2,i_2}), x_{\alpha,i_\alpha} = i_\alpha h_\alpha, i = \overline{0, N_\alpha}, h_\alpha = \frac{l_\alpha}{N_\alpha}, \alpha = 1, 2\}.$$

2. **Область сложной формы.** Пусть нам дана область нерегулярной (сложной) формы $\bar{G} = G \cup \Gamma$. Для построения сетки мы заключим эту область в прямоугольник $[a, b] \times [c, d]$. В этом прямоугольнике мы строим прямоугольную сетку. Для простоты зададим прямоугольную равномерную сетку.



Те узлы, которые попали внутрь этой сетки, будем считать *внутренними*, обозначим их совокупность ω_h . Точки пересечения прямых $x_\alpha = i_\alpha l_\alpha$, $\alpha = 1, 2$ с границей Γ назовем *граничными узлами*, обозначим их совокупность γ_h . Тогда сеткой будет множество узлов

$$\bar{\omega}_h = \omega_h \cup \gamma_h$$

Если исходная сетка в прямоугольнике $[a, b] \times [c, d]$ является равномерной, то сетка $\bar{\omega}_h$ в области \bar{G} является неравномерной.

Замечания.

1. Аналогичным образом строятся сетки и большей размерности.

2. В зависимости от геометрии исходной области можно использовать и другие ортогональные системы координат.
3. Кроме прямоугольных сеток можно строить, так называемые, треугольные сетки, элементарными ячейками которой являются треугольники.

Пусть $u(x)$ — это функция непрерывного аргумента $x = (x_1, \dots, x_p) \in \bar{G}$ и $u(x) \in H_0$ (H_0 — функциональное пространство). Если в области \bar{G} введена сетка $\bar{\omega}_h$, то вместо функции $u(x)$ можно рассматривать функцию дискретного аргумента $y(x) = y_h$, где $x \in \bar{\omega}_h$, и эту функцию будем называть *сеточной функцией*, значения которой вычисляются в узлах, а сама функция зависит от шага сетки h .

Множество сеточных функций образует пространство H_h — *пространство сеточных функций*. Следуя методу конечных разностей, мы заменяем пространство H_0 пространством H_h . Если h — параметр, то мы можем рассматривать множество сеточных пространств $\{H_h\}$ для каждого фиксированного h .

Для того, чтобы оперировать функций, нам нужен аппарат для исследования функций и их сравнения. Мы рассматриваем линейные пространства, а для линейных пространств вводится понятие нормы. Соответственно мы определяем *сеточный аналог нормы*

$$\|\cdot\|_0 \sim \|\cdot\|_h.$$

Например, если $H_0 = C[0, 1]$, то в нем вводится норма $\|\cdot\|_0 = \max_{x \in [0, 1]} |u(x)|$. Тогда сеточным аналогом может быть норма

$$\|\cdot\|_h = \max_{x \in \bar{\omega}_h} |y(x)|.$$

Если взять $H_0 = L_2[0, 1]$, то в нем вводится норма $\|\cdot\|_0 = (u, u)^{\frac{1}{2}}$. Тогда сеточным аналогом может быть норма

$$\|\cdot\|_h = \left(\sum_{i=1}^{N-1} h y_i^2 \right)^{\frac{1}{2}}.$$

Предположим, что функция $u(x)$ — это решение некоторой дифференциальной задачи. Тогда $y_h(x)$ — это решение приближенной, или разностной задачи. Для сравнения точного и приближенного решений сеточная функция доопределяется во всех точках области \bar{G} . В результате получается функция непрерывного аргумента \tilde{y}_h , тогда точность решения может быть оценена как

$$\|\tilde{y}_h - u\|_0.$$

Другой подход заключается в том, что мы исходное пространство H_0 отображаем в пространство H_h . Каждой функции $u(x) \in H_0$ ставится в соответствие сеточная функция $u_h(x)$, $x \in \bar{\omega}_h$, при этом $u_h = P_h u \in H_h$, где P_h — это линейный оператор проектирования из H_0 в H_h . Тогда точность решения оценивается как

$$\|y - u_h\|_h.$$

Для того, чтобы эта операция была корректна, естественно требовать, чтобы норма пространства H_h аппроксимировала норму пространства H_0 , то есть

$$\lim_{h \rightarrow 0} \|u_h\|_h = \|u\|_0.$$

- Это требование называется **условием согласованности норм**.

1.2 Разностная аппроксимация дифференциальных операторов.

1.2.1 Локальная аппроксимация.

Пусть задан линейный дифференциальный оператор L действующий на функцию $u = u(x)$. Для того, чтобы аппроксимировать (приближенно вычислить) его в любой точке $x \in \omega_h$ разностным оператором L_h , необходимо в начале указать или выбрать шаблон $\Pi(x)$.

- Под **шаблоном** $\Pi(x)$ мы понимаем множество узлов сетки, которое будет использоваться при аппроксимации оператора L оператором L_h в точке x .

- **Погрешность аппроксимации дифференциального оператора L разностным оператором L_h в точке x называется величина**

$$\psi(x) = L_h u(x) - Lu(x), \quad x \in \omega_h. \quad (1)$$

- Будем говорить, что **разностный оператор L_h аппроксимирует дифференциальный оператор L с порядком $m > 0$ в точке x , если можно представить**

$$\psi(x) = O(h^m).$$

Рассмотрим способ построения разностных операторов, получивший название *метод неопределенных коэффициентов*. На выбранном шаблоне $\Pi(x)$ разностную аппроксимацию будем искать в виде линейной комбинации значений функции в точках шаблона

$$L_h u(x) = \sum_{\xi \in \Pi(x)} A_h(x, \xi) u(\xi). \quad (2)$$

В формуле (2) $A_h(x, \xi)$ – это неизвестные коэффициенты, выбранные таким образом, чтобы погрешность аппроксимации имела в точке x заданный (чаще всего максимально возможный) порядок. Практический выбор значений коэффициентов осуществляется путем разложения погрешности аппроксимации в ряд Тейлора, то есть мы представляем

$$\psi(x) = \sum_{\xi \in \Pi(x)} A_h(x, \xi) u(\xi) - Lu(x),$$

а затем раскладываем получившееся выражение в ряд Тейлора в окрестности точки x . После приведения мы получаем в итоге линейную комбинацию

$$\psi(x) = \sum_{\xi \in \Pi(x)} A_h(x, \xi) u(\xi) - Lu(x) = \sum_{|j| \geq 0} B_h^{(j)}(x) u^{(j)}(x).$$

После этого мы приравниваем к нулю максимально возможное количество первых членов этого разложения. Как правило, количество этих членов совпадает с количеством неизвестных коэффициентов. После этого, решив систему линейных уравнений, находим коэффициенты A_h и по формуле (2) записываем искомый разностный оператор L_h .

Замечания.

1. Выбор шаблона зависит от порядка производных, входящих в исходный оператор L , а также от требуемой точности аппроксимации.

2. Легко видеть, что для аппроксимации дифференциального оператора, содержащего производную k -ого порядка по некоторой переменной, необходимо использовать шаблон, содержащий не менее $(k + 1)$ точку вдоль координатного направления соответствующей переменной.
3. Метод неопределенных коэффициентов является не единственным способом построения разностных операторов. Известен в литературе также метод *численного дифференцирования*.

Примеры.

1. Пусть задан дифференциальный оператор

$$Lu(x) = \frac{du(x)}{dx} = u'(x).$$

- (а) Пусть нам дан шаблон $\Pi(x) = \{x, x + h\}$. Тогда по формуле (2) составляем линейную комбинацию

$$u(x) = a_0 u(x) + a_1 u(x + h).$$

Записываем выражение для погрешности аппроксимации

$$\psi(x) = a_0 u(x) + a_1 u(x + h) - u'(x).$$

Затем производим разложение выражения в ряд Тейлора в окрестности точки x и приводим подобные при значениях функции и ее производных

$$\psi(x) = a_0 u(x) + a_1 u(x + h) - u'(x) = \underbrace{(a_0 + a_1)}_{B^{(0)}} u(x) + \underbrace{(ha_1 - 1)}_{B^{(1)}} u'(x) + \frac{h^2}{2} a_1 u''(x) + \dots$$

Приравнявая коэффициенты $B^{(j)}$ к нулю, получаем систему линейных уравнений

$$\begin{cases} a_0 + a_1 = 0, \\ ha_1 - 1 = 0. \end{cases}$$

Тогда

$$a_0 = -\frac{1}{h}, \quad a_1 = \frac{1}{h}.$$

Таким образом, мы построили разностный оператор вида

$$L_h u(x) = \frac{u(x + h) - u(x)}{h} = u_x \quad (3)$$

- Обозначение называется **правой разностной производной**.

При этом

$$\psi(x) = \frac{h}{2} u''(x) + \dots = O(h),$$

то есть разностный оператор (3) аппроксимирует исходный оператор L с первым порядком.

- Величина $\frac{h}{2} u''(x)$ называется **главным членом погрешности аппроксимации**.

- (b) Пусть нам дан шаблон $\Pi(x) = \{x - h, x\}$. Поступая аналогичным образом, мы можем построить оператор вида

$$L_h u(x) = \frac{u(x) - u(x - h)}{h} = u_{\bar{x}} \quad (4)$$

- Обозначение $u_{\bar{x}}$ называется **левой разностной производной**.

Легко видеть, что

$$\psi(x) = -\frac{h}{2}u''(x) + \dots = O(h).$$

- (с) Пусть нам дан шаблон $\Pi(x) = \{x - h, x, x + h\}$. Прodelав те же вычисления, мы получим выражение

$$L_h u(x) = \frac{u(x + h) - u(x - h)}{2h} = u_{ox} \quad (5)$$

- Обозначение $u_{\bar{x}}$ называется **центральной разностной производной**.

Легко видеть, что

$$\psi(x) = -\frac{h^2}{6}u'''(x) + O(h^4) = O(h^2).$$

Можно заметить, что с увеличением точек шаблона будет также увеличиваться погрешность аппроксимации.

Можно построить однопараметрическое семейство операторов для аппроксимации первой производной следующего вида

$$L_h^{(\sigma)} u(x) = \sigma u_x + (1 - \sigma) u_{\bar{x}},$$

где σ – это любое вещественное число. Выражение для погрешности имеет следующий вид

$$\psi(x) = (2\sigma - 1)\frac{h}{2}u''(x) + O(h^2).$$

Очевидно, что при любом $\sigma \neq \frac{1}{2}$ разностный оператор будет иметь первый порядок аппроксимации $\psi(x) = O(h)$. Иначе мы получаем второй порядок аппроксимации $\psi(x) = O(h^2)$, при этом легко видеть, что

$$L_h^{(0,5)} = \frac{1}{2}(u_x + u_{\bar{x}}) = u_{\hat{x}}.$$

2. Пусть нам дан дифференциальный оператор

$$Lu(x) = u''(x).$$

Оператор второго порядка, поэтому для аппроксимации нужно как минимум 3 точки. Возьмем шаблон $\Pi(x) = \{x - h, x, x + h\}$. Применяя метод неопределенных коэффициентов, мы получим следующий разностный оператор

$$L_h u(x) = \frac{u(x + h) - 2u(x) + u(x - h))}{h^2} = u_{\bar{x}x} \quad (6)$$

- Обозначение $u_{\bar{x}x}$ называется **второй разностной производной**.

Погрешность будет иметь вид

$$\psi(x) = \frac{h^2}{12} u^{IV}(x) + O(h^4) = O(h^2),$$

то есть имеет второй порядок, а не первый, как мы могли ожидать. Оказывается, что именно симметрия шаблона обеспечивает повышение порядка аппроксимации. Но на произвольной сетке мы получили бы первый порядок аппроксимации.

Замечания.

- (а) Символы, используемые для обозначения разностных производных неслучайны, а являются формальными операторами разностного дифференцирования и предписывают, как осуществлять аппроксимации. Например, если мы имеем разностный оператор $u_{\bar{x}x}$, то можно записать

$$\begin{aligned} u_{\bar{x}x} = (u_{\bar{x}}(x))_x &= \frac{u_{\bar{x}}(x+h) - u_{\bar{x}}(x)}{h} = \frac{1}{h} \left(\frac{u(x+h) - u(x)}{h} - \frac{u(x) - u(x-h)}{h} \right) = \\ &= \frac{u(x+h) - 2u(x) - u(x-h)}{h^2}. \end{aligned}$$

Можно также записывать

$$u_{\bar{x}}(x+h) = u_x(x), \quad \frac{1}{2}(u_x + u_{\bar{x}}) = u_{\bar{x}}.$$

Соответственно, мы можем конструировать разные операторы. Существуют также и разностные аналоги формул Грина.

- (б) Разложение погрешности $\psi(x)$ по степеням h можно использовать для повышения порядка аппроксимации. Например, мы можем заменить четвертую производную четвертой разностной производной в выражении

$$u_{\bar{x}x}(x) - u''(x) = \frac{h^2}{12} u^{IV}(x) + O(h^4) = \frac{h^2}{12} (u_{\bar{x}x\bar{x}x}(x) + O(h^2)) + O(h^4).$$

Тогда можно построить разностный оператор

$$L_h u(x) = u_{\bar{x}x}(x) - \frac{h^2}{12} u_{\bar{x}x\bar{x}x}(x).$$

Шаблон уже будет

$$\Pi(x) = \{x - 2h, x - h, x, x + h, x + 2h\},$$

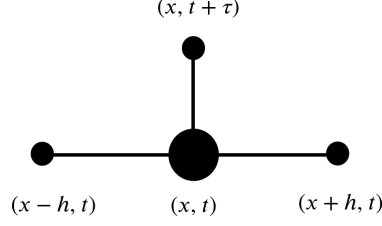
а погрешность аппроксимации

$$\psi(x) = O(h^4).$$

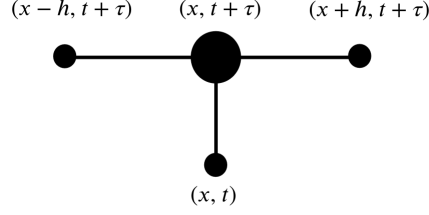
3. Пусть дан дифференциальный оператор

$$Lu = \frac{\partial u}{\partial t} - \frac{\partial^2 u}{\partial x^2}, \quad u = u(x, t), \quad (x, t) \in \omega_{ht}.$$

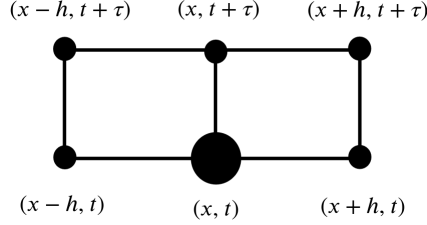
(a) Шаблон может иметь вид



(b) Шаблон может иметь вид



(c) Шаблон может иметь вид



Для шаблона (a) мы можем записать оператор

$$L_{h\tau}u = \frac{u(x, t+\tau) - u(x, t)}{\tau} - \frac{u(x+h, t) - 2u(x, t) + u(x-h, t))}{h^2}.$$

Такая форма записи называется *индексной*. Учитывая введенные обозначения, мы можем записать этот оператор также в форме

$$L_{h\tau}u = \frac{u(x, t+\tau) - u(x, t)}{\tau} - \frac{u(x+h, t) - 2u(x, t) + u(x-h, t))}{h^2} = u_t - u_{\bar{x}x}. \quad (7)$$

Используем следующие обозначения:

$$u(x, t) = u, \quad u(x, t+\tau) = \hat{u}, \quad u(x, t-\tau) = \check{u}.$$

Тогда для случая (b) можно записать

$$L_{h\tau}u = u_t - \hat{u}_{\bar{x}x}. \quad (8)$$

Для случая (c) мы можем построить однопараметрическое семейство аппроксимаций вида

$$L_{h\tau}^{(\sigma)}u = u_{\hat{t}} - (\sigma \hat{u}_{\bar{x}x} - (1-\sigma)u_{\bar{x}x}), \quad \sigma \neq 0, \quad \sigma \neq 1. \quad (9)$$

Разностный оператор (9) аппроксимирует исходный дифференциальный оператор со вторым порядком по x при любых σ и первым порядком по τ при $\sigma = 0, \sigma = 1$. Или вторым порядком по τ при $\sigma = \frac{1}{2}$. То есть можно записать

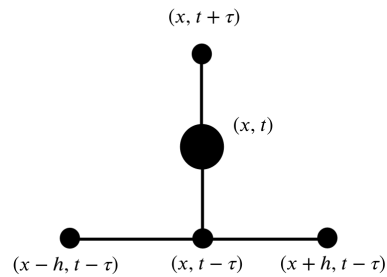
$$\begin{cases} \psi(x, t) = O(\tau + h^2), & \sigma \neq \frac{1}{2}, \\ \psi(x, t) = O(\tau^2 + h^2), & \sigma = \frac{1}{2}. \end{cases} \quad (10)$$

4. Пусть дан дифференциальный оператор

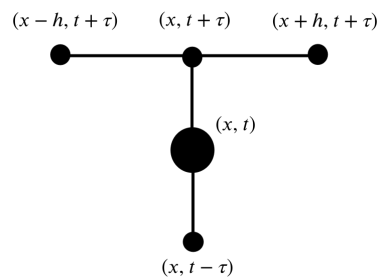
$$Lu = \frac{\partial^2 u}{\partial t^2} - \frac{\partial^2 u}{\partial x^2}.$$

Сейчас по каждому из направлений у нас будет по 3 точки.

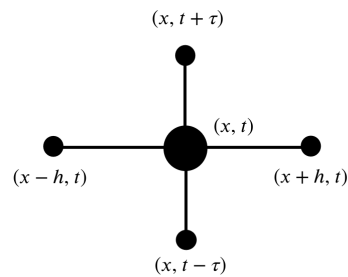
(a) Шаблон может иметь вид



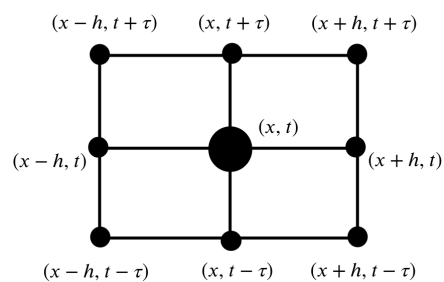
(b) Шаблон может иметь вид



(c) Шаблон может иметь вид



(d) Шаблон может иметь вид



Запишем двухпараметрическое семейство для варианта (d)

$$L_{h\tau}^{(\sigma_1, \sigma_2)} u = u_{\bar{t}\bar{t}} - (\sigma_1 \hat{u}_{\bar{x}\bar{x}} + (1 - \sigma_1 - \sigma_2) u_{\bar{x}\bar{x}} + \sigma_2 \check{u}_{\bar{x}\bar{x}}). \quad (11)$$

Для шаблона (a)

$$L_{h\tau}^{(0,1)} u = u_{\bar{t}\bar{t}} - \check{u}_{\bar{x}\bar{x}}. \quad (12)$$

Для шаблона (b)

$$L_{h\tau}^{(1,0)} u = u_{\bar{t}\bar{t}} - \hat{u}_{\bar{x}\bar{x}}. \quad (13)$$

Для шаблона (c)

$$L_{h\tau}^{(0,0)} = u_{\bar{t}\bar{t}} - u_{\bar{x}\bar{x}}. \quad (14)$$

Погрешность аппроксимации оператора (14) будет равна

$$\psi(x, t) = O(h^2 + \tau^2), \quad \sigma_1 = \sigma_2 = 0.$$

Если же $\sigma_1 = \sigma_2 = \sigma$, то погрешность будет также иметь второй порядок

$$\psi(x, t) = O(h^2 + \tau^2).$$

Для других значений погрешность аппроксимации по h понижается.

1.2.2

1. .

2. Пусть ω_h одномерно и неравномерно. Тогда h будет определяться набором шагов между каждой точкой

$$h = (h_1, \dots, h_N),$$

где N – это число разбиений. В данном случае

$$|h| = \max_{1 \leq i \leq N} h_i.$$

Пример 5. Рассмотрим аппроксимацию оператора

$$Lu = u''(x), \quad u \in H_0 = C^4[0, 1].$$

Случай, когда сетка равномерная, нас не интересует. Построим на отрезке $[0, 1]$ неравномерную сетку

$$\hat{\omega}_h = \{x_0 < x_1 < \dots < x_N, \quad x_i = x_{i-1} + h_i, \quad i = \overline{1, N}, \quad x_0 = 0, x_N = 1\}.$$

Итак $h = (h_1, \dots, h_N)$, где $h_i = x_i - x_{i-1}$, $i = \overline{1, N}$. Для каждого x_i , $i = \overline{1, N-1}$ рассмотрим трехточечный шаблон $\{x_{i-1}, x_i, x_{i+1}\}$ и методом неопределенных коэффициентов построим разностный оператор

$$(L_h u)_i = \frac{1}{\bar{h}_i} \left(\frac{u(x_{i+1}) - u(x_i)}{h_{i+1}} - \frac{u(x_i) - u(x_{i-1}))}{h_i} \right) u_{\bar{x}\hat{x}}. \quad (15)$$

В формуле (17)

$$\bar{h}_i = \frac{1}{2}(h_i + h_{i+1}), \quad u_{\hat{x}} = \frac{1}{\bar{h}_i}(u(x_{i+1}) - u(x_i)).$$

Если будем рассматривать погрешность в каждой точке сетки x_i , то получим

$$\psi_i = \frac{h_{i+1} - h_i}{3} u''(x_i) + O(h_i^2), \quad i = \overline{1, N-1}.$$

Из этого выражения следует, что в сеточной норме

$$\|\cdot\|_{h,C} = \max_{x \in \omega_h} |\cdot|$$

норма погрешности равна

$$\|\psi_h\|_{h,C} = \max_{1 \leq i \leq N} |\psi_i| = O(h),$$

где $h = \max_{1 \leq i \leq N} h_i$. Но можно подобрать другую норму, в которой порядок аппроксимации будет другим. Рассмотрим другую норму в пространстве сеточных функций – *негативную норму*

$$\|\psi_h\|_{h,-1} = \sqrt{\sum_{i=1}^{N-1} h_i \left(\sum_{k=1}^i h_k \psi_k \right)^2}.$$

Тогда можно доказать, что величина погрешности в этой норме равна

$$\|\psi_h\|_{-1} = O(h^2).$$

Таким образом, локальное условие погрешности может быть недостаточным. Выбор подходящей нормы всякий раз должен быть предметом изучения.

Рассмотрим основные нормы, которые мы дальше будем использовать в случае функций двух измерений. Рассмотрим функцию двух аргументов $u(x, t)$, $(x, t) \in G$ и наряду с ней сеточную функцию $y(x, t)$, $x \in \omega_h$, $t \in \omega_\tau$, которая определена на сетке $\omega_{h\tau} = \omega_h \times \omega_\tau$. В сеточном пространстве мы будем рассматривать в основном такую норму

$$\|y\|_{h\tau} = \max_{t \in \omega_\tau} \|y(t)\|$$

или

$$\|y\|_{h\tau} = \sqrt{\sum_{t \in \omega_\tau} \tau \|y(t)\|_h^2}.$$

Пример 6. Рассмотрим оператор

$$Lu = \frac{\partial u}{\partial t} - \frac{\partial^2 u}{\partial x^2}, \quad u \in H_0 = C^{4,2}[0, 1].$$

Возьмем простейшую аппроксимацию

$$L_{h\tau}u = u_t - u_{\bar{x}x}.$$

Если по x сетка равномерна, то h фиксировано. Распишем оператор в любой точке сетки

$$L_{h\tau}u = u_t - u_{\bar{x}x} = \frac{u_i^{j+1} - u_i^j}{\tau} - \frac{u_{i+1}^j - 2u_i^j + u_{i-1}^j}{h^2}.$$

В данном случае в качестве сеточной функции y мы рассматриваем проекцию u на сетку, то есть $u = u(x_i, t_j) = u_i^j$. Локальная погрешность аппроксимации имеет вид

$$L_{h\tau}u - (Lu)_{h\tau} = \psi_{h\tau}(x_i, t_j) = O(\tau + h^2).$$

Легко показать, что данный разностный оператор аппроксимирует исходный оператор на сетке с первым порядком по t и вторым порядком по x в любой из норм, рассматриваемых выше, то есть

$$\|\psi\|_{h\tau} = O(\tau + h^2).$$

Как правило, вычислив погрешность аппроксимации в точке, то она обобщается и на всю сетку.

1.3 Разностная аппроксимация дифференциальных задач.

1.3.1 Постановка разностной задачи.

Как известно, дифференциальная задача включает в себя дифференциальное уравнение и дополнительные условия, которые выделяют из совокупности возможных решений единственное. Поэтому при формулировке разностных задач помимо аппроксимации дифференциальных уравнений, необходимо описывать в разностных уравнениях и дополнительные условия.

- Совокупность разностных уравнений, аппроксимирующих дифференциальное уравнение и дополнительные условия, называется **разностной схемой**.
- Существуют две формы записи разностных схем: **безындексная** и **индексная**.

Пример 1. Рассмотрим задачу вида

$$\begin{cases} u'(t) = f(t), & t > 0, \\ u(0) = u_0 = \text{const}. \end{cases} \quad (1)$$

Для того, чтобы построить разностную схему, необходимо выписать разностное уравнение, которое будет аппроксимировать исходное дифференциальное уравнение. Для начала построим равномерную сетку

$$\omega_\tau = \{t_j = j\tau, \tau > 0, j = 0, 1, \dots\}.$$

Тогда дифференциальной задаче можно поставить в соответствие разностную схему в *безындексной форме*

$$\begin{cases} y_t = \varphi, & t \in \omega_\tau, \\ y(0) = u_0, \end{cases} \quad (2)$$

или в *индексной форме*

$$\begin{cases} \frac{y^{j+1} - y^j}{\tau} = \varphi^j, & j = 0, 1, \dots, \\ y(0) = u_0, \end{cases} \quad (3)$$

при этом

$$y^j = y(t_j) \approx u(t_j), \quad \varphi^j = \varphi(t_j).$$

При этом правая часть в разностном уравнении может быть задана различными способами, но при условии выполнения следующего соотношения – *необходимого условия для обеспечения первого порядка аппроксимации*

$$\varphi - f = O(\tau).$$

Например, в качестве φ можно выбирать $\varphi(t) = f(t)$, $t \in \omega_\tau$. Также можно выбирать

$$\varphi(t) = \frac{f(t) + f(t + \tau)}{2}.$$

После записи разностной схемы необходимо указать способ реализации этой схемы.

• **Под способом реализации** будем понимать построение вычислительного алгоритма, позволяющий найти приближенное решение во всех узлах сетки.

В нашем примере способ реализации тривиален. Для способа реализации используется, как правило, индексная форма записи. Запишем алгоритм реализации разностной схемы (2)-(3)

$$y^{j+1} = y^j + \tau \varphi^j, \quad j = 0, 1, \dots, \quad y^0 = u_0. \quad (4)$$

Таким образом, для дифференциальной задачи (1) разностная схема (2)-(3) позволяет найти приближенное решение по алгоритму ее реализации (4).

Пример 2. Рассмотрим задачу для функции двух переменных для уравнения гиперболического типа

$$\begin{cases} Lu = f(x, t), \quad L = \frac{\partial}{\partial t} - \frac{\partial^2}{\partial x^2}, \\ u = u(x, t), \quad 0 < x < 1, \quad 0 < t < T, \\ u(x, 0) = u_0(x), \quad 0 \leq x \leq 1, \quad u(0, t) = \mu_0(t), \quad u(1, t) = \mu_1(t), \quad 0 \leq t \leq T. \end{cases} \quad (5)$$

Для аппроксимации задачи сперва мы должны выписать разностные уравнения, которые определяются приближением соответствующих разностных операторов и заменой непрерывной функции на сеточный аналог. Для простоты построим равномерную по h и τ сетку узлов

$$\overline{\omega}_{h\tau} = \overline{\omega}_h \times \overline{\omega}_\tau.$$

Выберем шаблон

$$\Pi(x, t) = \{(x - h, t), (x, t), (x + h, t), (x, t + \tau)\}, \quad x \in \omega_h, \quad t \in \omega_\tau.$$

Вместо исходной задачи (5) получим разностную задачу, которая и будет являться разностной схемой в *безындексной форме записи*

$$\begin{cases} y_t = y_{\bar{x}x} + \varphi, \quad \varphi = f + O(\tau + h^2), \quad (x, t) \in \omega_{h\tau}, \\ y(x, 0) = u_0(x), \quad x \in \overline{\omega}_h, \\ y(0, t) = \mu_0(t), \quad y(1, t) = \mu_1(t), \quad t \in \overline{\omega}_\tau. \end{cases} \quad (6)$$

Запишем сразу алгоритм реализации этой разностной схемы:

$$\begin{cases} y_i^{j+1} = y_i^j + \tau \left(\frac{y_{i+1}^j - 2y_i^j + y_{i-1}^j}{h^2} + \varphi_i^j \right), \quad i = \overline{1, N_x - 1}, \quad j = \overline{1, N_t - 1}, \\ y_i^0 = u_0(x_i), \quad i = \overline{0, N_x}, \\ y_0^j = \mu_0(t_j), \quad y_{N_x}^j = \mu_1(t_j), \quad j = \overline{1, N_t} \end{cases} \quad (7)$$

1.3.2 Сходимость и точность разностных схем.

Пусть дана дифференциальная задача

$$Lu = f(x), \quad x \in G, \quad (8)$$

$$lu = \mu(x), \quad x \in \Gamma. \quad (9)$$

Искомая функция $u(x) \in H_0$, $x \in \overline{G} = G \cup \Gamma$, а L, l – дифференциальные операторы, действующие в пространстве H_0 с нормой $\|\cdot\|_0$. Задаче (8)-(9) на сетке $\overline{\omega}_h = \omega_h \cup \gamma_h$ поставим в соответствие разностную задачу, или разностную схему

$$L_h y_h = \varphi_h, \quad x \in \omega_h \quad (10)$$

$$l_h y_h = \chi_h, \quad x \in \gamma_h \quad (11)$$

где приближенное решение $y_h(x) \in H_h$, $x \in \overline{\omega}_h$, а L_h, l_h – это разностные операторы, действующие в пространстве H_h с нормой, которая согласована с нормой пространства H_0 , то есть

$$\lim_{h \rightarrow 0} \|\cdot\|_h = \|\cdot\|_0.$$

• Разностная задача должна быть **корректно поставленной**, то есть

1. решение $y_h(x)$ задачи (10) – (11) существует и единственно для всех φ_h, χ_h из допустимого семейства сеточных функций;
2. решение $y_h(x)$ непрерывно зависит от φ_h, χ_h , то есть для любого шага сетки h_0 существует константа M такая, что при всех $h \leq h_0$ выполняется неравенство

$$\|y_h - \tilde{y}_h\|_h \leq M (\|\varphi_h - \tilde{\varphi}_h\|_h + \|\chi_h - \tilde{\chi}_h\|_h),$$

где \tilde{y}_h – решение задачи (11) с правыми частями $\hat{\varphi}_h, \hat{\chi}_h$. Непрерывная зависимость решений разностной задачи называется **устойчивостью по входным данным**.

Факт наличия устойчивости является одним из основных вопросов теории разностных схем.

Основной целью всякого приближенного метода является получения решения исходной непрерывной задачи с заданной точностью ε за конечное число действий k . Поэтому после построения разностной схемы, аппроксимирующей исходную задачу, мы должны убедиться в том, что решение разностной задачи y_h будет являться приближенным значением точного решения задачи $u(x)$.

Пусть u_h – это значения исходной функции $u(x)$ на сетке ω_h . Рассмотрим погрешность разностной схемы (10)-(11). Для этого введем функцию

$$z_h = u_h - y_h.$$

Выразим $y_h = u_h - z_h$ и подставим в задачу (10)-(11). Тогда получим задачу для погрешности

$$L_h z_h = \psi_h, \quad x \in \omega_h, \quad (12)$$

$$l_h z_h = \nu_h, \quad x \in \gamma_h, \quad (13)$$

где

$$\psi_h = L_h u_h - \varphi_h$$

$$\nu_h = l_h u_h - \chi_h.$$

• Функция ψ_h называется **погрешностью аппроксимации уравнения (8) разностным уравнением (10)**. А функция ν_h – **погрешностью аппроксимации граничных условий (9) разностными условиями (11)**.

Для оценки погрешности z_h и погрешность аппроксимации введем на сеточном множестве функций нормы $\|\cdot\|_{1,h}, \|\cdot\|_{2,h}, \|\cdot\|_{3,h}$.

• Будем говорить, что решение разностной задачи (10)-(11) сходится к решению непрерывной задачи (1)-(2) (что то же самое **разностная схема (10)-(11) сходится**), если

$$\|z_h\|_{1,h} = \|u_h - y_h\|_{1,h} \xrightarrow{|h| \rightarrow 0} 0. \quad (14)$$

Разностная схема имеет n -ый порядок точности, если при достаточно малом $|h| \leq |h_0|$ выполняется неравенство

$$\|z_h\|_{1,n} \leq M|h|, \quad (15)$$

где M – константа, не зависящая от $h > 0$. Разностная схема имеет m -ый порядок аппроксимации, если

$$\|\psi_h\|_{2,h} = O(|h|^m), \quad \|\nu_h\|_{3,h} = O(|h|^m). \quad (16)$$

Обозначим через f_h и $(Lu)_h$ значения правой части уравнения (8) на сетке и значение Lu на сетке. С учетом того, что

$$(Lu - f)_h = 0,$$

то можно погрешность аппроксимации уравнения записать в виде

$$\psi_h = \psi_h^{(1)} + \psi_h^{(2)},$$

где

$$\psi_h^{(1)} = f_h - \varphi_h,$$

– погрешность аппроксимации правой части

$$\psi_h^{(1)} = L_h u_h - (Lu)_h,$$

– погрешность аппроксимации дифференциального оператора. Аналогично можно записать и для ν_h .

Оказывается, что понятия сходимости и точности связаны между собой для линейных разностных схем. Зависимость порядка точности от порядка аппроксимации дает теорема Лакса.

Теорема (Лакса). *Если линейная разностная схема устойчива и аппроксимирует исходную дифференциальную задачу, то она сходится. Причем порядок точности схемы определяется порядком ее аппроксимации.*

1.3.3 Повышения порядка аппроксимации разностных схем.

Поскольку порядок сходимости разностной схемы, а значит и скорость сходимости приближенного решения к точному зависит от порядка аппроксимации, то вопрос об увеличении порядка аппроксимации без увеличения геометрического шаблона является весьма важным для исследования разностных схем.

Пример 3. Возьмем задачу и разностную схему из примера 1. Рассмотрим погрешность аппроксимации

$$\begin{aligned} \psi_\tau(t) = u_t(t) - \varphi(t) &= \frac{u(t_\tau) - u(t)}{\tau} - \varphi(t) = \left[u(t + \tau) = u(t) + \tau u'(t) + \frac{\tau^2}{2} u''(t) + O(\tau^3) \right] = \\ &= [u'(t) = f(t), \quad u''(t) = f'(t)] = f(t) + \frac{\tau}{2} f'(t) - \varphi(t) + O(\tau^2) \end{aligned}$$

Можно в самом простом случае выбрать

$$\varphi(t) = f(t) + O(\tau).$$

Тогда мы получим разностную схему первого порядка $\psi_\tau = O(\tau)$. Причем при таком выборе $\varphi = f$ мы получили явный метод Эйлера.

Мы также можем взять

$$\varphi(t) = f(t) + \frac{\tau}{2}f'(t) + O(\tau^2).$$

Тогда, если мы возьмем

$$\varphi = f\left(t + \frac{\tau}{2}\right),$$

то из $\varphi(t)$ аппроксимирует выражение выше с порядком $O(\tau^2)$. Подставив это в нашу разностную схему, мы получим схему второго порядка аппроксимации. А это есть ничто иное, как *формула средних прямоугольников*.

В качестве φ можно выбирать и другие выражения. Например, если выбирать

$$\varphi = f(t) + \frac{\tau}{2}f_t(t),$$

то мы получим *формулу трапеций*.

Мы повышали порядок аппроксимации исходя из выбора правой части основного уравнения. Но чаще всего получается так, что задача задается с такими граничными условиями, в которых при минимальном шаблоне понижается порядок аппроксимации. Рассмотрим такой случай

Пример 4. Рассмотрим третью краевую задачу для обыкновенного дифференциального уравнения следующего вида

$$u''(x) - qu(x) = f'(x), \quad 0 < x < 1, \quad (17)$$

$$u'(0) = \sigma_0 u(0) - \mu_0, \quad (18)$$

$$u(1) = \mu_1 \quad (19)$$

В уравнениях (18)-(20) числа $q, \sigma_0, \mu_0, \mu_1$ – это заданные константы. Построим равномерную сетку $\overline{\omega}_h = \omega_h \cup \gamma_h$ на отрезке $[0, 1]$, где

$$\omega_h = \left\{ x_i = ih, \quad i = \overline{1, N-1}, h = \frac{1}{N} \right\},$$

$$\gamma_h =$$

Для аппроксимации уравнения (18) выберем шаблон

$$\Pi_1(x) = \{x - h, x, x + h\}, \quad x \in \omega_h.$$

Для аппроксимации условия (19) выберем шаблон, состоящий из двух точек

$$\Pi(0) = \{x_0, x_1\} = \{0, h\},$$

Для аппроксимации условия (20) формально выбираем шаблон

$$\Pi_3(1) = \{x_N\} = \{1\}.$$

Заменяем дифференциальные производные разностными и строим разностную схему

$$y_{\overline{x}x}(x) - dy(x) = -\varphi(x), \quad x \in \omega_h, \quad (20)$$

$$y_x(0) = \sigma_0 y(0) - \mu_0, \quad (21)$$

$$y(1) = \mu_1. \quad (22)$$

Исследуем погрешность аппроксимации. Для любого узла $x \in \omega_h$ запишем величину погрешность как невязку над точным решением

$$\psi_h = u_{\bar{x}x} - du + \varphi.$$

Воспользуемся соотношениями

$$u_{\bar{x}x} = u'' + \frac{h^2}{12}u^{(IV)} + O(h^4).$$

Учитывая, что $u'' = qu - f$, получим

$$\psi_h = qu - f + \frac{h^2}{12}u^{(IV)} - du + \varphi + O(h^4) = (q - d)u + (\varphi - f) + O(h^2).$$

Отсюда видно, что $\psi_h = O(h^2)$, если мы выберем

$$d = q + O(h^2), \quad \varphi = f + O(h^2),$$

то разностное уравнение (21) будет аппроксимировать исходное разностное уравнение со вторым порядком.

Рассмотрим погрешность аппроксимации граничных условий

$$\begin{aligned} \nu_h(0) &= u_x(0) - \sigma_0 u(0) + \mu_0 = u'(0) + \frac{h}{2}u''(0) + O(h^2) - \sigma_0 u(0) + \mu_0 = \\ &= [u'(0) - \sigma_0 u(0) + \mu_0] + \frac{h}{2}u''(0) + O(h^2) = O(h). \end{aligned}$$

Исследуем аппроксимацию второго граничного условия

$$\nu_h(1) = u(1) - \mu_1 = 0,$$

то есть условие аппроксимируется точно.

В итоге мы получили погрешность аппроксимации граничных условий

$$\nu_h = \nu_h(0) + \nu_h(1) = O(h),$$

поэтому общий порядок аппроксимации равен сумме порядков аппроксимации

$$\Psi = \psi_h + \nu_h = O(h).$$

Следовательно, мы построили схему первого порядка аппроксимации.

В данном случае возникает потребность повысить порядок точности схемы, не изменяя размер шаблона. Для этого нам необходимо повысить порядок $\nu_h(0)$. Чтобы добиться этого, введем вместо коэффициентов σ_0 и μ_0 сеточные коэффициенты $\bar{\sigma}_0, \bar{\mu}_0$. Тогда вместо уравнения (22) будем рассматривать уравнение с этими коэффициентами

$$y_x(0) = \bar{\sigma}_0 + \bar{\mu}_0 \tag{23}$$

и подберем эти коэффициенты так, чтобы погрешность аппроксимации была равна $O(h^2)$. Выписываем погрешность аппроксимации с новыми коэффициентами, предполагая, что исходное дифференциальное уравнение (18) выполняется в точке $x = 0$.

$$\begin{aligned} \nu_h(0) &= u_x(0) - \bar{\sigma}_0 u(0) + \bar{\mu}_0 = u'(0) - (\bar{\sigma}_0 u(0) - \bar{\mu}_0) + \frac{h}{2}u''(0) + O(h^2) = \\ &= [u''(0) = qu(0) - f(0), \quad u'(0) = \sigma_0 u(0) - \mu_0] = \\ &= \left[\left(\sigma_0 + \frac{h}{2}q \right) - \bar{\sigma}_0 \right] u(0) + \left[\bar{\mu}_0 - \left(\mu_0 + \frac{h}{2}f(0) \right) \right] + O(h^2) \end{aligned}$$

Если мы выберем

$$\bar{\sigma} = \sigma_0 + \frac{h}{2}q, \quad \bar{\mu}_0 = \mu_0 + \frac{h}{2}f(0),$$

то в уравнении (24) мы получим второй порядок аппроксимации, а значит схема (21), (24), (23) будет являться схемой второго порядка аппроксимации.

- *Такой способ повышения порядка аппроксимации называется **методом повышения порядка с использованием вида дифференциального оператора**.*